

к диаметру цилиндра d уменьшается пропорционально отношению плотностей до и после скачка. Сравним теперь с этой оценкой данные фиг. 5. На приведенной развертке $S/d \sim 0.33$, т. е. близко соответствует $M \approx 2.5$ при $\gamma = 9/7$ — именно случаю более высокой ($T_1' \sim 1.5 T_1$) температуры — а не параметрам чисто термической плазмы, где $M \sim 3.5$ и ожидаемое значение $S/d \sim 0.2$. Таким образом, здесь получено еще одно независимое доказательство справедливости основного момента — отсутствия различия между термической и разрядной плазмой и их перемешивание в электромагнитных ударных трубках при начальных давлениях менее 1 мм рт. ст.

В заключение авторы благодарят Б. В. Башенярова за помощь при проведении эксперимента.

Поступила 2 VII 1964

ЛИТЕРАТУРА

- Холев С. Р., Полтавченко Д. С. Ускорение плазмы разряда и получение сильных ударных волн в камере с коаксиальными электродами. Докл. АН СССР, 1960, т. 131, № 5, стр. 1060.
- McLean E., Faneuff C., Kolb A., Grieam H. Spectroscopic Study of Helium Plasmas Produced by Magnetically Driven Shock Wave. Phys. Fluids, 1960, vol. 3, No. 6, 843.
- Kolb A., Grieam H. High Temperature Shock Waves. Сб. «Atomic and Molecular Processes», ed. by D. Bates, Shterscience, N. Y., 1962, p. 141 (русск. перев.: Успехи физ. наук, 1964, т. 82, № 4, стр. 83); см. также: Kolb A. Proc. IV Int. Confer. Ionisation Phenomena in Gases. Amsterdam, 1921, 1960.
- Cloureau M. Interpretation of Luminous Phenomena Observed in Electromagnetic Shock Tubes. Phys. Fluids, 1963, vol. 6, No. 5, p. 679.
- Chang C. Shock Wave Phenomena in Coaxial Plasma Guns. Phys. Fluids, 1961, vol. 4, No. 9, p. 1085.
- Соловухин Р. И. Ударные волны и детонации в газах. Физматгиз, 1963.
- Liepmann H. W., Roshko A. Element of Gasdynamics. N. Y., 1957, p. 105.
- Griffith W. C. Vibrational Relaxation Times. Fundamental Data obtained from Shock Tube Exp. Perg. Pr., 1961.

О СТРУКТУРЕ УДАРНЫХ ВОЛН В СЛУЧАЕ ФАЗОВЫХ ПЕРЕХОДОВ ПЕРВОГО РОДА

Н. М. Кузнецов (Москва)

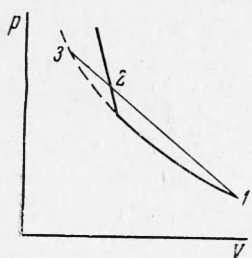
Структура ударной волны в газе с обратимыми химическими реакциями была исследована Я. Б. Зельдовичем [1]. В работе [1] показано, что в структурном отношении следует различать слабые и сильные волны, причем как в слабых, так и в сильных волнах давление p и плотность ρ в релаксирующей зоне возрастают по мере приближения к состоянию термодинамического равновесия. Такой ход p и ρ получен при выполнении условия $\delta p > 0$, где δp — разность давлений на «замороженной» и равновесной ветвях ударной адиабаты при одном и том же значении плотности и при отсутствии изломов ударной адиабаты. При обратимых химических реакциях выполняются оба эти условия¹.

Однако при фазовом переходе I рода, происходящем медленнее, чем процессы установления термодинамического равновесия в каждой из фаз, возможно и обратное расположение рассматриваемых ветвей ударной адиабаты, т. е. $\delta p < 0$ [3, 4]. Кроме того, ударная адиабата $p(V)$, где $V = 1/\rho$, при наличии фазового перехода имеет изломы, причем в случае достаточно сильного скачкообразного уменьшения $(\delta p / \delta V)$ с возрастанием p на равновесной ударной адиабате возможно образование двуволновой конфигурации [5]. (Заметим, что при этом во всяком случае $\delta p > 0$). Зависи-

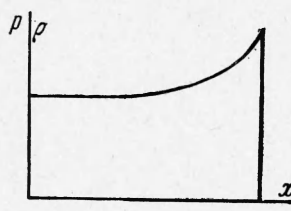
¹ С. П. Дьяковым [2] указывалась возможность $\delta p < 0$ в случае диссоциации двухатомного или многоатомного газа, вытекающая из того, что ветви ударной адиабаты, соответствующие недиссоциированному и диссоциированному газам в состоянии термодинамического равновесия по всем степеням свободы, кроме диссоциации, при достаточно большой интенсивности ударной волны имеют точку пересечения. Однако можно показать, что в точке пересечения и выше ее, т. е. там, где $\delta p < 0$, энергия колебательных степеней свободы достигает величины порядка энергии диссоциации молекулы. При этом скорость диссоциации заведомо не будет малой по сравнению со скоростью релаксации молекулярных колебаний, и само рассмотрение указанных ветвей адиабаты лишается физического содержания.

мость знака δp от термодинамических свойств вещества, претерпевающего фазовые переходы I рода, рассмотрена в работе [4]. Не возвращаясь здесь вновь к этому вопросу, рассмотрим качественный характер структуры ударной волны при $\delta p < 0$.

1. При $\delta p < 0$ следует рассмотреть только сильную ударную волну. (В слабой волне δp всегда положительно [6], и фазовые переходы здесь ничего качественно нового не дают [4]. Выводы Я. Б. Зельдовича о структуре слабой ударной волны справедливы не только при обратимых химических реакциях, но и в общем случае медленного процесса установления равновесия с одним временем релаксации.) Расположение ударных адиабат «замороженного» и равновесного состояния при $\delta p < 0$ изображено на фиг. 1. По мере приближения вещества к состоянию полного термодинамического равновесия точка, описывающая состояние вещества на плоскости pV (фиг. 1), перемещается по хорде 3—2 из положения 3 в положение 2. При этом плотность и давление уменьшаются. Качественный характер зависимости p и ρ от расстояния x до скачка уплотнения изображен на фиг.



Фиг. 1

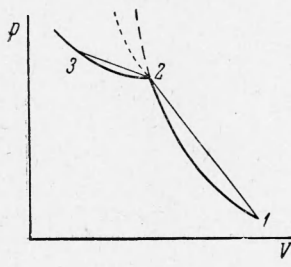


Фиг. 2

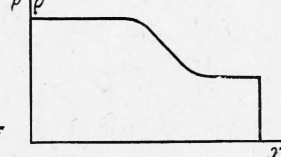
2. При $\delta p > 0$ двуволновая конфигурация осуществляется (см. фиг. 3) при выполнении условия

$$\frac{p_3 - p_2}{V_3 - V_2} > \frac{p_2 - p_1}{V_2 - V_1} \quad (1)$$

Расположение «замороженной» и равновесной ударных адиабат в случае двуволновой конфигурации изображено на фиг. 3 (мелким пунктиром изображена адиабата Пуассона метастабильной фазы). Вторая волна, переводящая вещество из состояния 2 в состояние 3, по своей структуре [1] всегда является слабой. Действительно, вторая волна была бы сильной, если



Фиг. 3



Фиг. 4

Здесь в правой части -- изэнтропическая производная давления по объему исходной фазы в точке 2. Но из требования газодинамической устойчивости ударной волны в отсутствие фазового перехода следует

$$\left(\frac{\partial p}{\partial V} \right)_s < \frac{p_2 - p_1}{V_2 - V_1}$$

что вместе с (2) противоречит условию осуществления двуволновой конфигурации (1).

Качественная зависимость p и ρ от x для двуволновой конфигурации изображена на фиг. 4. Обе волны могут быть стационарными, но скорости их распространения, вообще говоря, различны. При повышении давления p_3 неравенство (1) нарушается, и в стационарном режиме, как это следует из сказанного выше и непосредственно из чертежа (фиг. 3), волны сливаются в одну раньше, чем вторая из них станет сильной. Образующаяся при этом одноволновая конфигурация является в структурном отношении сильной волной, рассмотренной Я. Б. Зельдовичем.

Поступила 27 XII 1963

ЛИТЕРАТУРА

1. Зельдович Я. Б. О распространении ударных волн в газе с обратимыми химическими реакциями. Ж. эксперим. и теор. физ., 1946, т. 16, стр. 365.
2. Дьяков С. П. Ударные волны в релаксирующем среде. Ж. эксперим. и теор. физ., 1954, т. 27, стр. 728.
3. Урлин В. Д. и Иванов А. А. О плавлении при сжатии ударной волной. Докл. АН СССР, 1963, т. 149, № 6, стр. 1303.
4. Кузнецова Н. М. Об изломе ударной адиабаты при фазовом переходе первого рода. Докл. АН СССР, 1964, т. 155, № 1, стр. 156.
5. Bancroft D., Peterson E., Minshall S. Polymorphism of Iron at High Pressure. J. Appl. Phys., 1956, vol. 27, No. 3, p. 291.
6. Л. Д. Ландау и Е. М. Лифшиц. Механика сплошных сред. Гостехиздат, 1953, стр. 375—381.